

Reaktoriaus RBMK-1500 konstrukciniø elementø neutroninës aktyvacijos skaitinis vertinimas

1. Kuro kanalø (lydinio E125) neutroninës aktyvacijos skaitinis vertinimas

Ernestas Narkûnas,
Artûras Ðmailþys,
Povilas Poðkas

*Lietuvos energetikos institutas,
Branduolinës inþinerijos problemø
laboratorija, Breslaujos g. 3,
LT-44403 Kaunas*

Pradėjus Ignalinos atominës elektrinës (IAE) demontavimo darbus, didelë kieká radioaktyviøjø atliekø sudarys reaktoriaus konstrukcinës medþiagos (grafitas, betonas, metalinës dalys), kurios dirbant reaktoriams veikiamos intensyvaus neutronø srauto tampa radioaktyviomis. Kad bûtø galima numatyti iðmontavimo darbus, reikia preliminariø duomenø apie eksploataavimo nutraukimo metu susidarysianëiø radioaktyviøjø atliekø kieká radioaktyvumo lygá, nuklidinæ sudëtá ir kt.

Ðiame darbe nagrinëjama RBMK tipo branduolinio reaktoriaus kuro kanalø konstrukcinës medþiagos (cirkonio ir niobio lydinio E125) neutroninë aktyvacija. Tam tikslui buvo sukurtas konservatyvus skaitinis Ignalinos AE reaktoriaus RBMK-1500 kuro kanalø neutroninës aktyvacijos vertinimo modelis bei pagal ðá modelá ORIGEN-S kompiuterine programa (SCALE 4.3 programø sistema) ávertintas cirkonio lydinio E125 aktyvumo lygis ir jo priklausomybë nuo laiko po galutinio reaktoriaus sustabdymo bei nuo priemaiðø, esanëiø lydinyje E125, koncentracijos.

Gauti neutroninës aktyvacijos procesø modeliavimo rezultatai parodë, jog radioaktyviosios tarðos poþiûriu svarbiausi aktyvacijos metu kuro kanaluose susidaræ radionuklidai yra: 3H , ^{14}C , ^{41}Ca , ^{55}Fe , ^{60}Co , ^{59}Ni , ^{63}Ni , ^{93}Zr , ^{93m}Nb , ^{94}Nb .

Raktaþodþiai: Ignalinos AE, reaktoriaus RBMK-1500 kuro kanalai, neutroninë aktyvacija, skaitinis modeliavimas

1. ÁVADAS

Atominës elektrinës eksploataavimo nutraukimas yra ilgas ir sudëtingas procesas, reikalaujantis nemaþai lëðø. Pasirengimas ðiam procesui trunka ne vienerius metus ir apima pasiruoðimá saugiam elektrinës iðmontavimui, eksploataavimo metu susidariusiø radioaktyviøjø atliekø sutvarkymui, panaudoto branduolinio kuro saugojimui ir kt. Norint numatyti iðmontavimo darbus, ádiegti radioaktyviøjø atliekø apdorojimo technologijas, saugyklas ir kapinynus, reikia preliminariø duomenø apie eksploataavimo nutraukimo metu susidarysianëiø radioaktyviøjø atliekø kieká, radioaktyvumo lygá, nuklidinæ sudëtá ir kt.

Ignalinos AE 1-ojo ir 2-ojo blokø reaktoriø kuro kanalai yra pagaminti ið cirkonio ir niobio lydinio E125, kurio ið viso yra apie 215 tonø. Ðie kanalai, veikiami intensyvaus neutronø srauto, tampa radioaktyvûs. Reaktoriaus aktyviojoje zonoje neutronø srauto tankis siekia 10^{13} n / (cm² · s), todël ir

nepasipýminëiø didele sáveikos tikimybe elementø branduoliai yra aktyvuojami. Sustabdþius Ignalinos AE ir pradėjus elektrinës demontavimo darbus, grafito klojinys, cirkonio kanalai, plieninës, betoninës ir kitos konstrukcijos turës bûti iðmontuotos, apdorotos, paliktos ilgalaikiam saugojimui arba palaidotos. Todël yra svarbu ið anksto identifikuoti aktyvuotose medþiagose susidariusius radionuklidus, ávertinti jø koncentracijas bei aktyvumus. Tokiu bûdu galima prognozuoti spinduliuotës poveiká personalui, kuris iðmontuos ir vëliau tvarkys ðias aktyvuotas medþiagas. Taip pat aktyvacijos procesø vertinimas yra reikalingas siekiant parinkti geriausią reaktoriaus konstrukcijø iðmontavimo, tvarkymo ir laidojimo bûdà.

Ðiame straipsnyje pristatomas skaitinis RBMK-1500 reaktoriaus kuro kanalø neutroninës aktyvacijos ávertinimo bûdas, kuris ágalina nustatyti aktyvuotose medþiagose susidariusius radionuklidus, jø aktyvumus bei koncentracijas.

2. REAKTORIAUS RBMK-1500 KURO KANALAI

Kuro kanalas yra vienas pagrindinio mazgø, lemianio reaktoriaus eksploatacijos ekonomiðkumà ir patikimumà. Jame talpinama branduolinio kuro rinklë, kurià apiplauna ðilumos neðëjas, t. y. vanduo.

Kuro kanalo korpusas suvirintas ið atskiro daliø (vidurinės ir iðorinės). Vidurinė dalis – tai 88 mm iðorinio skersmens, 8 m ilgio ir 4 mm sienelës storio vamzdis, pagamintas ið cirkonio ir niobio lydinio E125 ($Zr + 2,5\% Nb$). Virðutinë ir apatinë kuro kanalo dalys pagamintos ið antikorozinio plieno vamzdiø. Cirkonio ir niobio lydinio vidurinė kuro kanalo dalis parinkta atsilyvgus á tai, kad ði medþiaga esant aukðtesnei temperatûrai (350°C) ir santykinai maþam ðiluminio neutronø sugerties skerspjûviui (apie $(0,2-0,3) \cdot 10^{-29} m^2$) pasiþymi gana geromis mechaninëmis ir antikorozinëmis savybëmis. Vidurinė ir kraðtinës kanalo dalys sujungiamos specialiomis tarpinëmis movomis, pagamintomis ið plieno ir cirkonio lydinio [1].

Á kuro kanalà gali bûti ádëta ðilumà iðskirianti (darbinë) rinklë, ðilumà iðskirianti rinklë su matuokliais pagal spindulá (neutronø srauto ar temperatûros) arba papildomas sugërikliis. Kuro kanalas gali bûti ir tuðeias (uþpildytas tik auðinanëiu vandeniu).

Ið viso viename RBMK-1500 reaktoriuje yra 2052 kanalai, ið kuriø 1661 yra kuro kanalas. Likusieji reaktoriaus kanalai yra vadinami specialiosios paskirties kanalais: reaktyvumo valdymo sistemos kanalai, kanalai su detektoriais energijos iðsiskyrimui nustatyti pagal aktyviosios zonos aukðtà, jonizacijos kamerø kanalai ir kt. Nors kai kuriø specialiojøjø kanalø konstrukcija ðiek tiek ir skiriasi nuo kuro kanalø, taëiau, analogiðkai kuro kanalams, virðutinës ir apatinës specialiojøjø kanalø dalys pagamintos ið nerûdijanëio plieno, o vidurinės dalys ið cirkonio ir niobio lydinio. Reaktoriaus ðoninio reflektoriaus auðinimo kanalai, kuriø yra 156, taip pat priskiriami prie specialiosios paskirties kanalø, taëiau jie yra pagaminti ið nerûdijanëio plieno, o ne ið cirkonio ir niobio lydinio [1].

3. AKTYVACIJOS ÁVERTINIMO METODIKA

Kaip minëta, aktyvacijos modeliavimas buvo atliktas Ignalinos AE reaktoriaus RBMK-1500 kuro kanalams, tiksliau jø vidurinėms dalims, kurios yra pagamintos ið cirkonio lydinio E125. Ðios medþiagos sudëtiniai cheminiai elementai bei jø koncentracijos yra pateiktos 1 lentelëje [2]. Kadangi tiksliai IAE lydinio E125 sudëtis nėra þinoma, tai norint ávertinti lydinio sudëtinio elementø ir jø koncentracijø neapibrëptumus, aktyvacijos modeliavimas taip pat buvo atliktas ir tokiam atvejui, kai priimama teorinë cirkonio lydinio E125 cheminë sudëtis bei elementø koncentracijos, t. y. nėra jokio priemaiðø ir 97,5% lydinio masës sudaro cirkonis (Zr), o likusius 2,5% –

niobis (Nb). Ði lydinio sudëtinio elementø ir jø koncentracijø variacija taip pat leidþia atlikti ir lydyne indukuoto aktyvumo jautrumo analizæ (jautrumo sudëtiniam elementams ir jø koncentracijoms).

1 lentelë. Cirkonio lydinio E125 cheminë sudëtis ir elementø koncentracijos (%) [2]

Elementas	Konc.
Fe	0,018
Hf	0,04
Nb	2,5
Ni	0,011
Zr	97,21428
Al	0,0046
B	0,00008
Be	0,002
C	0,027
Ca	0,03
Cd	0,00004
Co	0,025
Cu	0,005
Mn	0,004
N	0,008
O	0,1
Pb	0,005
Ti	0,006

2 lentelë. Neutroninës aktyvacijos reakcijos branduolinio reaktoriaus kuro kanalø medþiagose (X – motininis nuklidai, (x, y) – branduolinës reakcijos tipas, Y – dukterinis nuklidai, T – dukterinio nuklido skilimo pusëjimo trukmë (d – dienos, m – metai))

X	(x, y)	Y	T
^{13}C	n, γ	^{14}C	5730 m
^{14}N	n, p	^{14}C	5730 m
^{17}O	n, γ	^{14}C	5730 m
^{40}Ca	n, p	^{40}K	$1,28 \cdot 10^9$ m
^{40}Ca	n, γ	^{41}Ca	$1,03 \cdot 10^5$ m
^{44}Ca	n, γ	^{45}Ca	165 d
^{46}Ti	n, p	^{46}Sc	83,8 d
^{54}Fe	n, p	^{54}Mn	312,5 d
^{55}Mn	n, 2n	^{54}Mn	312,5 d
^{54}Fe	n, γ	^{55}Fe	2,7 m
^{56}Fe	n, 2n	^{55}Fe	2,7 m
^{58}Fe	n, γ	^{59}Fe	44,6 d
^{58}Ni	n, γ	^{59}Ni	$7,5 \cdot 10^4$ m
^{58}Ni	n, p	^{58}Co	70,8 d
^{62}Ni	n, γ	^{63}Ni	101,1 m
^{59}Co	n, γ	^{60}Co	5,272 m
^{63}Cu	n, p	^{63}Ni	101,1 m
^{93}Nb	n, γ	^{94}Nb	$2,0 \cdot 10^4$ m
^{93}Nb	n, n γ	^{93m}Nb	13,6 m
^{94}Zr	n, γ	^{95}Zr	64,0 d
^{174}Hf	n, γ	^{175}Hf	70 d

Skaièiavimuose tam tikro cheminio elemento izotopinė sudėtis buvo priimta tokia pat, kaip natūraliai gamtoje aptinkamo to elemento izotopinė sudėtis (pavyzdžiui, gamtiną kalcą (*Ca*) sudaro šie izotopai: ^{40}Ca – 96,941%, ^{42}Ca – 0,647%, ^{43}Ca – 0,135%, ^{44}Ca – 2,086%, ^{46}Ca – 0,004%, ^{48}Ca – 0,187%).

2 lentelėje yra pateiktos pagrindinės aktyvacijos reakcijos, vykstančios branduolinio reaktoriaus aktyviosios zonos kuro kanaluose.

Điame darbe kuro kanalø aktyvacijos procesai buvo modeliuojami naudojant SCALE 4.3 sistemos programà ORIGEN-S [3], kuri yra áteisinta (validuota) bei verifikuota tokiø procesø analizei [4] ir plaèiai naudojama visame pasaulyje. Đi programa vertina radioaktyvøjá skilimà ir neutronø absorbcijà (pagavimà bei dalijimàsi) ir ágalina nustatyti neutroninės aktyvacijos metu susidariusiø izotopø sudėtá, jø radioaktyvumus bei koncentracijas. Pagrindinë lygtis, kurià sprendžia programa, yra tam tikro *i*-ojo nuklido koncentracijos N_i kitimas laike:

$$\frac{dN_i}{dt} = \sum_{j=i+1}^I \gamma_{ji} \sigma_{f,j} N_j \phi + \sigma_{c,i-1} N_{i-1} \phi + \lambda'_i N'_i - \sigma_{f,i} N_i \phi - \sigma_{c,i} N_i \phi - \lambda_i N_i, \quad i = 1, \dots, I;$$

èia

- $\sum_{j=i+1}^I \gamma_{ji} \sigma_{f,j} N_j \phi$ – nuklido N_i susidarymo greitis,

kurá sàlygoja visø N_j nuklidø dalijimosi reakcijos; èia γ_{ji} – reakcijos išeiga, σ_f – atitinkamos dalijimosi reakcijos skerspjūvis, ϕ – neutronø srautas;

- $\sigma_{c,i-1} N_{i-1} \phi$ – virsmo á N_i greitis, kai nuklidas N_{i-1} pagauna neutronà; èia σ_c – atitinkamos pagavimo reakcijos skerspjūvis, ϕ – neutronø srautas;

- $\lambda'_i N'_i$ – N_i susidarymo greitis, kai vyksta nuklido N'_i radioaktyvusis skilimas; èia λ'_i – nuklido N'_i skilimo konstanta;

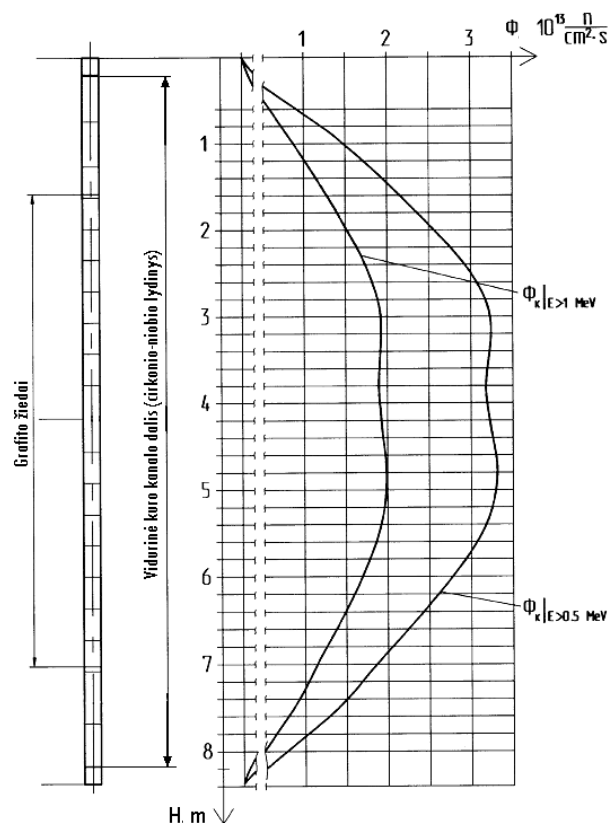
- $\sigma_{f,i} N_i \phi$ – N_i sunykimo greitis, kai vyksta dalijimosi reakcija; èia σ_f – atitinkamos dalijimosi reakcijos skerspjūvis, ϕ – neutronø srautas;

- $\sigma_{c,i} N_i \phi$ – N_i sunykimo greitis, kai vyksta ávairiø rūdiø neutrono pagavimo reakcijos: (n, γ), (n, α), (n, p), ($n, 2n$) ($n, 3n$); èia σ_c – atitinkamos pagavimo reakcijos skerspjūvis, ϕ – neutronø srautas;

- $\lambda_i N_i$ – nuklido N_i radioaktyviojo skilimo greitis; èia λ_i – nuklido N_i skilimo konstanta;

- *i* ir *j* – indeksai, idėiðkiantys tam tikro nuklido masės skaièiø, *I* – didžiausias masės skaièius.

RBMK-1500 reaktoriaus kuro kanalø vamzdžiø vidurinės dalys yra pagamintos iš cirkonio ir niobio lydinio E125. Kadangi ðios vamzdžiø dalys yra reaktoriaus aktyviojoje zonoje, tai dirbant reaktoriui jos yra veikiamos $10^{13} \text{ n} / (\text{cm}^2 \cdot \text{s})$ eilės ðiluminiø neutronø srautu ir todėl E125 lydiná sudarantys elementai yra aktyvuojami. Tiksliam reaktoriaus konstrukcinio medžiagø aktyvacijos ávertinimui reikëtø



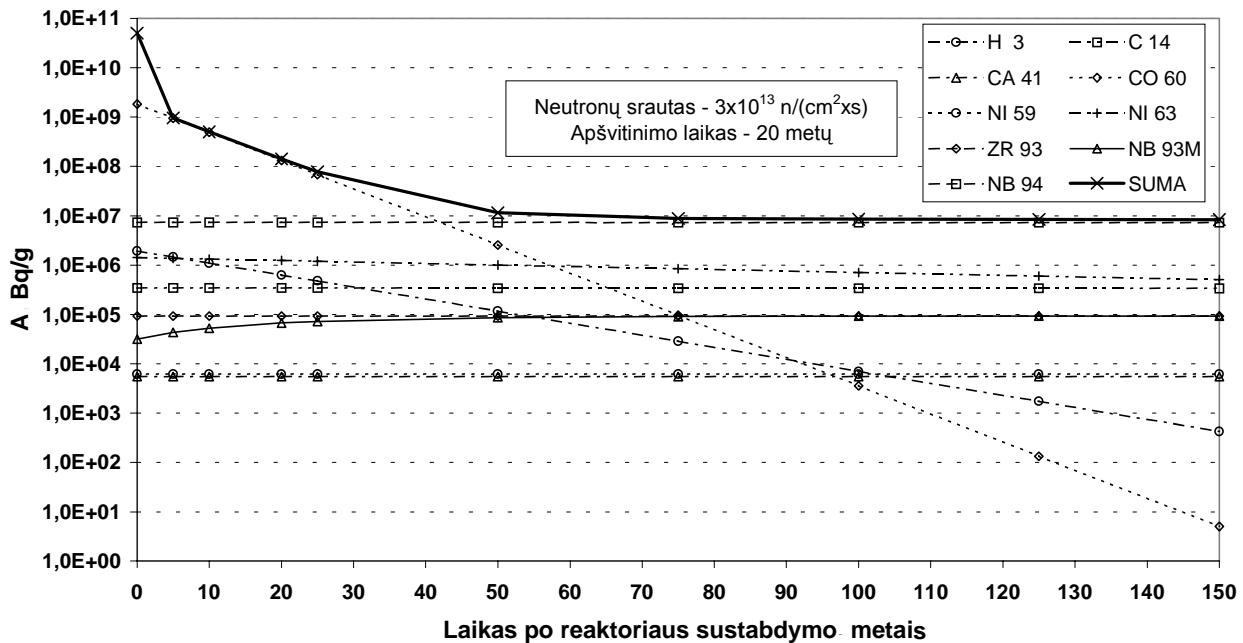
1 pav. Neutronø srauto pasiskirstymas IAE 1-ojo bloko reaktoriaus kuro kanale [5]

sukurti trimatà Ignalinos AE reaktoriaus modelà ir atitinkamos programos pagalba apskaièiuoti erdvinà neutronø srauto pasiskirstymà bei energijø spektrà. Taèiau preliminariam aktyvacijos ávertinimui buvo remiamasi eksperimentiniais neutronø srauto matavimais Ignalinos AE. Greitøjø ir ðiluminiø neutronø srautai reaktoriuje buvo matuoti neutronø detektoriais, kuriø veikimas pagrãstas aktyvaciniu principu. ðiluminiø neutronø srautai buvo nustatomi pagal $^{63}\text{Cu}(n, \gamma)^{64}\text{Cu}$, $^{71}\text{Ga}(n, \gamma)^{72}\text{Ga}$, $^{50}\text{Cr}(n, \gamma)^{51}\text{Cr}$ reakcijas, greitøjø – $^{27}\text{Al}(n, n\alpha)^{24}\text{Na}$, $^{58}\text{Ni}(n, p)^{58}\text{Co}$. Tokiu būdu idmatuoti neutronø srautai Ignalinos AE 1-ojo bloko reaktoriaus aktyviojoje zonoje yra [5]:

- ðiluminiø neutronø: $(2,8-3,4) \cdot 10^{13} \text{ n}/(\text{cm}^2 \cdot \text{s})$;
- neutronø, kuriø energija didesnė nei 7,25 MeV: $(2,5-3,8) \cdot 10^{11} \text{ n}/(\text{cm}^2 \cdot \text{s})$;
- neutronø, kuriø energija didesnė nei 8,15 MeV: $(1,2-1,8) \cdot 10^{11} \text{ n}/(\text{cm}^2 \cdot \text{s})$.

Neutronø, kuriø energijos $E > 0,5 \text{ MeV}$ ir $E > 1 \text{ MeV}$, srauto pasiskirstymas išilgai kuro kanalo 1-ojo Ignalinos AE bloko reaktoriaus aktyviojoje zonoje reaktoriaus darbo metu yra pavaizduotas 1 pav. [5].

Vertinant aktyvuotø medžiagø radioaktyvumo lygio kitimà po reaktoriaus sustabdymo bei priklausomybà nuo priemaiðø koncentracijos buvo priimta prielaida, kad kuro kanalø apðvitinimas yra nenutrūkstamas ir trunka 20 metø. Taip pat, remiantis anksèiau pateiktais Ignalinos AE atliktais neutronø srautø



2 pav. Radioaktyvumo lygio lydinėje E125 priklausomybė nuo laiko.

SUMA – suminis visų radionuklidų aktyvumas

matavimais aktyviojoje zonoje [5] bei 1 pav., buvo padaryta prielaida, kad ūluminio neutronų srauto tankis visais apšvitinimo periodais reaktoriaus aktyviojoje zonoje tiek radialine, tiek aksialine kryptimis yra pastovus ir lygus $3 \cdot 10^{13} \text{ n}/(\text{cm}^2 \cdot \text{s})$.

Lydinio E125 aktyvacijos modeliavimas buvo atliktas dviem atvejais:

- „Atvejis-1“: Aktyvuoto cirkonio lydinio radioaktyvumo lygio kitimas sustabdžius apšvitinimą, t. y. po reaktoriaus sustabdymo;
- „Atvejis-2“: Aktyvuoto cirkonio lydinio radioaktyvumo lygio priklausomybė nuo priemaiðų koncentracijos.

Abiems skaiðiavimo atvejams („Atvejis-1“ ir „Atvejis-2“) kuro kanalų medžiagose susidarantys radionuklidai ir jų aktyvumas buvo ávertinti laiko momentu iðkart po apšvitinimo, t. y. reaktoriaus sustabdymo metu, ir keliems skilimo periodams po apšvitinimo, t. y. po reaktoriaus sustabdymo.

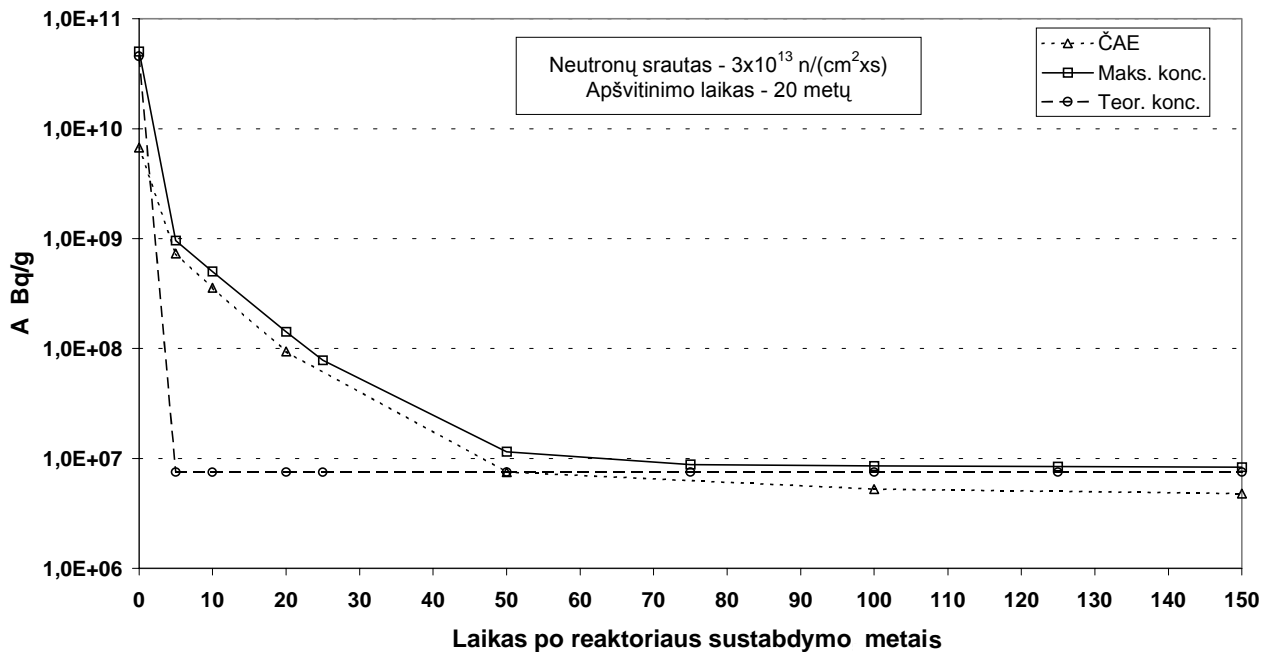
4. REZULTATAI IR JŲ ANALIZĖ

Aktyvacijos proceso metu cirkonio ir niobio lydinėje susidariusių pagrindinių devynių radionuklidų (^3H , ^{14}C , ^{41}Ca , ^{60}Co , ^{59}Ni , ^{63}Ni , ^{93}Zr , $^{93\text{m}}\text{Nb}$ ir ^{94}Nb) ir suminio aktyvumo lygio („Atvejis-1“) kitimas sustabdžius reaktorių pavaizduotas 2 pav. Sustabdžius reaktorių, aktyvuotų priemaiðų suminis radioaktyvumas lydinėje nevirðija $5,1 \cdot 10^{10} \text{ Bq/g}$, o per 150 metų sumaþėja iki $8,4 \cdot 10^6 \text{ Bq/g}$. Reaktorių sustabdžius, beveik visà E125 lydinio aktyvumą lemia vienintelis ^{60}Co , taèiau bégant laikui jo aktyvumas þenkliai maþėja ir jau maþdaug po 40 metų ^{60}Co aktyvumas susilygina su ^{94}Nb , ir

toliau praktiškai visas aktyvumas priklauso ^{94}Nb , kurio pusėjimo trukmė yra didesnė. Sàlyginai trumpaamþio nuklido ^3H (skilimo pusėjimo trukmė ~ 12 metų) aktyvumas per 150 metų irgi þenkliai sumaþėja. Likusių nuklidų aktyvumo lygis reaktoriaus sustabdymo metu nėra didelis ir per modeliuojamà 150 metų laikotarpà po reaktoriaus sustabdymo suminiam lydinio aktyvumui praktiškai neturi átakos.

Vertinant kuro kanalų aktyvumo kitimà po galutinio reaktoriaus sustabdymo, svarbiausios yra aktyvumo reikðmės dvejais laiko momentais: tai aktyvumo reikðmės kuro kanalų iðmontavimo ir jø galutinio laidojimo metu. Remiantis galutiniu Ignalinos AE 1-ojo ir 2-ojo blokų eksploataavimo nutraukimo planu, kuro kanalai bus iðmontuojami praėjus 10 metų po reaktorių sustabdymo, taip pat tikėtina, kad galutinai ðios medžiagos bus palaidotos praėjus maþdaug 50 metų po kanalų iðmontavimo, t. y. maþdaug po 60 metų po reaktorių galutinio sustabdymo (tiksliai radioaktyviøjø atliekø, kurioms priklauso ir iðmontuoti kuro kanalai, laidojimo data dar nėra galutinai nuspræsta) [6].

2 pav. matyti, kad kuro kanalų iðmontavimo metu cirkonio ir niobio lydinio suminis aktyvumas yra 100 kartø maþesnis, palyginti su lydinio aktyvumu reaktoriaus sustabdymo metu, ir nevirðija $5,1 \cdot 10^8 \text{ Bq/g}$. Beveik visà aktyvumą, t. y. kiek daugiau nei 97% viso aktyvumo, sudaro ^{60}Co aktyvumas, o likusių elementų indėlis labai maþas (maþesnis nei 3% suminio aktyvumo). Remiantis ðiais ávertinimais radioaktyviøjø atliekø, kurioms priklauso ir aktyvuotas kuro kanalų cirkonio lydinys, laidojimo metu suminis aktyvumas sumaþėja apytiksliai 5000 kartø, palyginti



3 pav. Radioaktyvumo lygio lydinyje E125 kitimas laikui bėgant, priklausomai nuo priemaidž koncentracijos, ir palyginimas su publikuojamais skaičiavimais Ėrnobylio AE 1-ojo bloko reaktoriui.

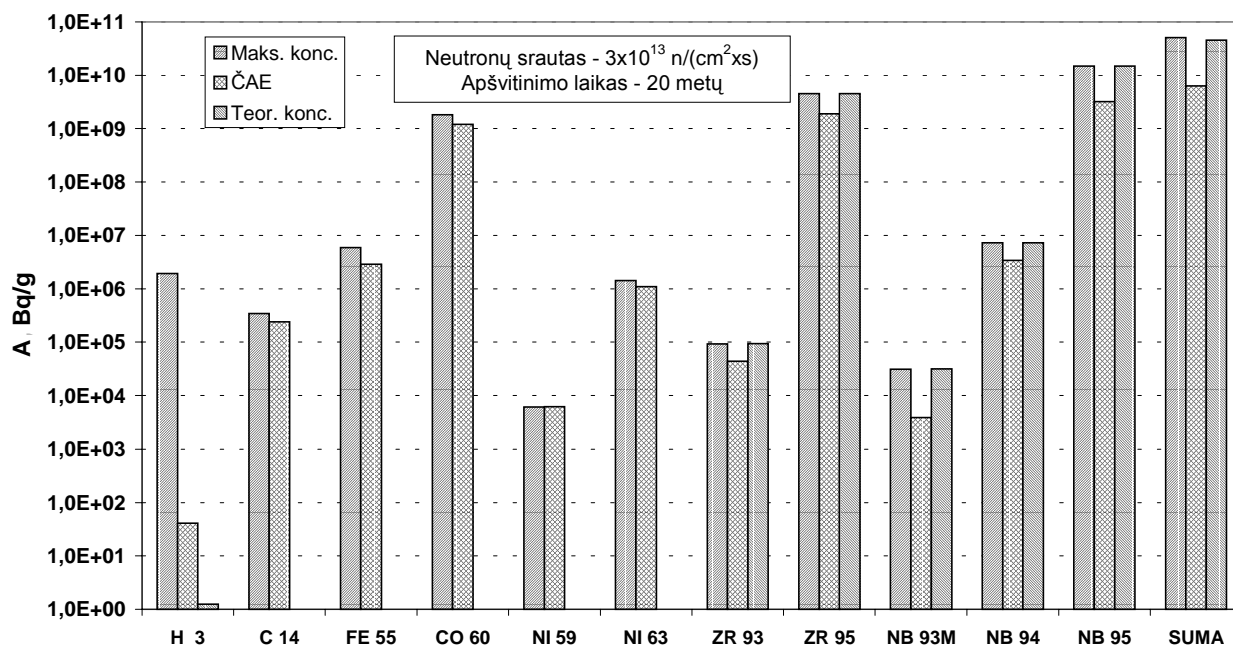
Maks. konc. – elemento koncentracija remiantis [2]; Teor. konc. – teorinė elemento koncentracija; ĖAE – publikacijos [2] duomenys

su lydinio aktyvumu reaktoriaus sustabdymo metu, ir siekia maždaug $1 \cdot 10^7$ Bq/g. Šiuo laiko momentu didžiąją suminio aktyvumo dalį t. y. per 70%, sudaro ^{94}Nb aktyvumas, kuris siekia $7,3 \cdot 10^6$ Bq/g. Beveik visą likusiojo suminio aktyvumo dalį sudaro ^{63}Ni ir ^{60}Co , kurių aktyvumai ne didesni kaip atitinkamai $7 \cdot 10^5$ Bq/g ir $9,5 \cdot 10^5$ Bq/g.

2 pav. matyti, kad sustabdžius reaktorių ir vykstant tiksliai radioaktyviojo skilimo procesams nuklido $^{93\text{m}}\text{Nb}$ aktyvumas laikui bėgant didėja. Iš pirmo žvilgsnio tai gali atrodyti paradoksalu, tačiau iš tikrųjų taip nėra. Nuklidas $^{93\text{m}}\text{Nb}$ yra radioaktyvus, todėl savaime skyla į stabilų ^{93}Nb nuklidą vykstant izomeriniam perėjimui, o šio proceso pusėjimo trukmė yra apie 16 metų. Dėl šio proceso sustabdžius reaktorių $^{93\text{m}}\text{Nb}$ aktyvumas mažėja. Tačiau tuo pat metu vyksta ir kitas procesas – $^{93\text{m}}\text{Nb}$ nuklido susidarymas, kadangi radioaktyvūs ^{93}Zr branduoliai dėl β^- skilimo transformuojasi kaip tik į $^{93\text{m}}\text{Nb}$ branduolius. Šio proceso pusėjimo trukmė yra maždaug $1,5 \cdot 10^6$ metų. Taigi atsižvelgus į šiuos abu procesus, $^{93\text{m}}\text{Nb}$ aktyvumo didėjimas sustabdžius reaktorių neatrodo paradoksalus, nes šis nuklidas pastoviai susidaro dėl ^{93}Zr skilimo, ir dėl didelio šio nuklido pusėjimo trukmių santykio laikui bėgant $^{93\text{m}}\text{Nb}$ aktyvumas praktiškai susilygina su ^{93}Zr aktyvumu, nes kiek $^{93\text{m}}\text{Nb}$ susidaro, tiek jo praktiškai iškart ir suskyla. Yra ir daugiau nuklidų, kuriems būdingas toks aktyvumo didėjimo procesas po reaktoriaus uždarymo.

Kadangi tikslios IAE reaktorių kuro kanalų lydinio E125 komponentų ir priemaidž koncentracijos nėra

žinomos ([2] yra pateikiamos Ėrnobylio AE (ĖAE) 1-ojo bloko reaktoriui nustatytos lydinio E125 atskirų sudedamųjų elementų ir priemaidž koncentracijos, kurios gali skirtis IAE, nors lydinio markė ir ta pati), todėl buvo įvertinta, kaip cirkonio lydinyje kinta radionuklidų suminis aktyvumas, kai cirkonio lydinio komponentų ir priemaidž koncentracijos yra identiškos ĖAE, ir esant teorinei cirkonio lydinio sudėčiai („Atvejis-2“). Šie rezultatai palyginti su publikuojamais [2] ĖAE 1-ojo bloko reaktoriaus kuro kanalų (lydinys E125) aktyvumo rezultatais (3 pav.). Skaičiavimai parodė, kad modeliavime priėmus teorinę lydinio sudėtį kuro kanalų aktyvumas iškart po apšvitinimo neviršija $4,6 \cdot 10^{10}$ Bq/g, o po 150 metų sumažėja iki maždaug $7,5 \cdot 10^6$ Bq/g. Taigi esant teorinei lydinio E125 sudėčiai, suminis radioaktyvumo lygis reaktoriaus sustabdymo metu ir praėjus 150 metų po sustabdymo yra mažesnis, palyginti su atitinkamai $5,1 \cdot 10^{10}$ ir $8,4 \cdot 10^6$ Bq/g vertėmis, esant [2] koncentracijoms. Kaip matyti, šis skirtumas tarp gautų rezultatų yra nedidelis, gautos aktyvumo reikšmės yra tos pačios eilės. Tačiau aktyvumo lygiai laikotarpiu nuo 5 iki 75 metų po reaktoriaus galutinio sustabdymo labai skiriasi (3 pav.). Šis skirtumas galima paaiškinti remiantis 4 pav., kuriame matyti, jog esant teorinei cirkonio lydinio sudėčiai, neutroninės aktyvacijos metu nesudaro sąlyginai trumpaamžiai (^{55}Fe , ^{60}Co) nuklidai, kurie iš esmės ir nulemia suminą lydinio aktyvumą pirmaisiais, 75-aisiais, metais (2 pav.) po reaktoriaus uždarymo.



4 pav. Radionuklidø aktyvumo lygio lydinyje E125 palyginimas su publikuojamais duomenimis Ėernobylio AE 1-ojo bloko reaktoriui

Maks. konc. – elementø koncentracija remiantis [2]; Teor. konc. – teorinë elementø koncentracija; ĖAE – publikacijos [2] duomenys; SUMA – suminis visø radionuklidø aktyvumas

3 pav. taip pat matyti, kad ĖAE atveju lydinio E125 suminio aktyvumo lygio kitimo profilis sustabdytus reaktoriø yra labai panašus á ðiame darbe sumodeliuoto IAE lydinio E125 aktyvumo kitimo profilá (ne teoriniu atveju), taèiau pati aktyvumo reikðmë reaktoriaus sustabdymo metu ir bet kuriuo laiko momentu po sustabdymo yra ðiek tiek mažesnë up ðio darbo metu gautas vertes. Bene labiausiai rezultatø skirtumà lemia tai, kad Ignalinos AE reaktoriø galingumas yra didesnis up Ėernobylio AE 1-ojo bloko reaktoriaus galingumà, o tai reiðkia, kad Ignalinos AE reaktoriuose yra sukuriami didesniø tankiø neutronø srautai, todël vyksta intensyvesnis medþiagø aktyvacijos procesas. Be to, rezultatø skirtumà nulemia ir tai, kad IAE sukurtas aktyvacijos modelis yra konservatyvus ir neávertina realaus neutronø srauto pasiskirstymo reaktoriaus aktyviojoje zonoje, taip pat neatsiþvelgta á reaktoriaus darbo istorijà.

IAE cirkonio lydinio aktyvacijos modeliavimo rezultatø palyginimas su [2] duomenimis reaktoriaus sustabdymo metu yra pateiktas 4 pav. Matyti, jog cirkonio lydinio E125 neutroninës aktyvacijos modeliavimo rezultatai (iðskyrus teoriná atvejá) nedaug skiriasi nuo ĖAE 1-ojo bloko reaktoriaus lydinio E125 aktyvacijos modeliavimo rezultatø. Labiau skiriasi tik tai 3H aktyvumai. Ðis radionuklidas susidaro ið priemaiðø (9Be) aktyvacijos produktø, vykstant ávairioms branduoliniø reakcijø grandinëlëms. Viena

minëto rezultatø skirtumo prieþasëiø yra tai, kad aktyvumo skaièiavimams (ðiame ir [2] darbe) buvo naudotos skirtingos kompiuterinës programos, kuriose naudojamos skirtingos branduoliniø reakcijø duomenø bibliotekos.

5. IŠVADOS

Ðiame darbe buvo sukurtas konservatyvus skaitinis Ignalinos AE reaktoriaus RBMK-1500 kuro kanalø medþiagos neutroninës aktyvacijos vertinimo modelis. Pagal ðá modelá ORIGEN-S kompiuterine programa (SCALE 4.3 programø sistema) ávertinti cirkonio lydinio E125 aktyvumo lygiai. Gauti rezultatai palyginti su kitø autoriø publikuojamais RBMK reaktoriø konstrukciniø medþiagø neutroninës aktyvacijos vertinimo rezultatais.

Konservatyviai ávertinus IAE reaktoriaus RBMK-1500 kuro kanalø medþiagø neutroninæ aktyvacijà, galima padaryti ðias iðvadas:

- Indukuoto aktyvumo lygis reaktoriaus kuro kanaluose labai priklauso nuo cheminës medþiagø sudëties bei jø koncentracijos; tai ypæ pasireiðkia per pirmuosius, 75-uosius, metus po reaktoriaus sustabdymo, kai didþiàjà dalá kuro kanaluose indukuoto aktyvumo sudaro aktyvuotø priemaiðø elementai, nors paëiø priemaiðø kiekiai (pagal masæ) yra labai maþi.

- Beveik visà kuro kanalø lydinio E125 aktyvumà iðkart po reaktoriaus sustabdymo lemia vienintelis

(nevertinant trumpaamžių) nuklidais – ^{60}Co . Po maždaug 40 metų ^{60}Co aktyvumas susilygina su ^{94}Nb , ir toliau praktiškai visas aktyvumas priklauso ^{94}Nb . Kitose nuklidose (^3H , ^{14}C , ^{41}Ca , ^{59}Ni , ^{63}Ni , ^{93}Zr , $^{93\text{m}}\text{Nb}$) indėlis nėra esminis, nes jų aktyvumai yra kur kas mažesni už ilgaamžio ^{94}Nb .

- Iki aktyvuotose kuro kanalose išmontavimo cirkonio ir niobio lydinio suminis aktyvumas per 10 metų sumažėja 100 kartų, palyginti su lydinio aktyvumu iškart po reaktoriaus sustabdymo. Beveik visą aktyvumą, t. y. kiek daugiau nei 97% viso aktyvumo, sudaro ^{60}Co , o likusio elemento indėlis nedidelis.

- Radioaktyvųjų atliekų, kurioms priklauso ir aktyvuotas kuro kanalo cirkonio lydinys, tikėtino laidojimo metu (60 metų po reaktoriaus sustabdymo) suminis aktyvumas sumažėja apytiksliai 5000 kartų, palyginti su lydinio aktyvumu iškart po reaktoriaus sustabdymo. Dėjuo laiko momentu didžioji dalis suminio aktyvumo dalį, t. y. per 70%, sudaro ^{94}Nb aktyvumas. Beveik visą likusio lydinio aktyvumo dalį sudaro ^{63}Ni ir ^{60}Co .

Gauta 2004 12 20

Literatūra

1. Almenas K., Kaliatka A., Ušpuras E. Ignalina RBMK-1500. A Source Book. Kaunas: LEI, 1998.
2. Bylkin B. K., Davydova G. B., Zverkov Y. A., Krayushkin A. V., Neretin Y. A., Nosovsky A. V., Seyda V. A., Short S. M. Induced radioactivity and waste classification of reactor zone components of the Chernobyl nuclear power plant unit 1 after final shutdown // Nuclear Technology. 2001. Vol. 136. P. 76–88.
3. Hermann O. W., Westfall R. M. ORIGEN-S: SCALE system module to calculate fuel depletion, actinide transmutation, fission product buildup and decay, and associated radiation source terms // NUREG/CR-0200, Revision 5, Volume 2, Section F7, ORNL/NUREG/CSD-2/V2/R5, March 1997.
4. <http://www.ornl.gov/sci/scale/pubs/rc1429.pdf>.
5. Ignalina NPP Safety Assessment Report. Ignalina, 1996.
6. Galutinis Ignalinos AE 1-ojo ir 2-ojo blokų eksploatavimo nutraukimo planas. Ignalina, 2004.

Ernestas Narkūnas, Artūras Džaišys, Povilas Poška

NUMERICAL MODELLING OF NEUTRON ACTIVATION PROCESSES IN THE REACTOR RBMK-1500 STRUCTURAL ELEMENTS 1. NUMERICAL MODELLING OF NEUTRON ACTIVATION PROCESSES IN FUEL CHANNELS (ALLOY E125)

Summary

As soon as the decommissioning activities at the Ignalina NPP start, the arising radioactive waste will contain also construction materials of the reactor core (graphite, concrete, metal parts). These materials become radioactive due to neutron irradiation during the INPP operation. In order

to plan the dismantling works, it is necessary to know the preliminary amounts, radioactivity levels and activity inventory of future decommissioning waste.

An assessment methodology and results of neutron activation of RBMK-type nuclear reactor construction materials is presented in this work. A model for numerical evaluation of neutron activation in the Ignalina NPP reactor fuel channels was developed based on conservative assumptions. According to the proposed model, the assessment of radioactivity levels in the zirconium alloy of E125 type (fuel channels) was performed using the ORIGEN-S computer code (SCALE 4.3 computer code system).

The results of neutron activation estimation show that the induced radioactivity level in the reactor fuel channels strongly depends on the chemical composition of materials and their concentration. It is especially notable during the first 75 years after the reactor final shutdown, when most of induced radioactivity is exerted by the radioactive elements of impurities, despite the fact that the amount of these impurities (mass) is very small. From the radiological point of view, the most important radionuclides induced during neutron activation in the reactor fuel channels are: ^3H , ^{14}C , ^{41}Ca , ^{55}Fe , ^{60}Co , ^{59}Ni , ^{63}Ni , ^{93}Zr , $^{93\text{m}}\text{Nb}$, ^{94}Nb .

Key words: Ignalina NPP, reactor RBMK-1500 fuel channels, neutron activation, numerical modelling

Эрнэстас Наркунас, Артурас Шмайжис, Повилас Пошка

ЧИСЛЕННОЕ МОДЕЛИРОВАНИЕ НЕЙТРОННОЙ АКТИВАЦИИ КОНСТРУКТИВНЫХ ЭЛЕМЕНТОВ РЕАКТОРА РБМК-1500 1. ЧИСЛЕННОЕ МОДЕЛИРОВАНИЕ НЕЙТРОННОЙ АКТИВАЦИИ ТОПЛИВНЫХ КАНАЛОВ (СПЛАВ Э125)

Резюме

При снятии с эксплуатации Игналинской АЭС определённую часть возникающих радиоактивных отходов составят также и конструктивные элементы ядерного реактора (графит, бетон, металлические части). Эти материалы становятся радиоактивными при облучении нейтронами во время работы реакторов АЭС. Для успешного планирования демонтажных работ необходимо иметь предварительную информацию о количестве и активности этих элементов.

В настоящей работе представлены методология оценки и результаты нейтронной активации конструктивных материалов ядерного реактора типа РБМК. Была создана модель для численной оценки нейтронной активации топливных каналов реактора Игналинской АЭС, основанная на консервативных предположениях. Согласно предложенной модели, используя компьютерный код ORIGEN-S (система компьютерных кодов SCALE 4.3), была выполнена оценка уровней наведенной радиоактивности в сплаве циркония типа Э125 (топливных каналов).

Результаты оценки нейтронной активации показывают, что уровень наведенной радиоактивности в топливных каналах реактора сильно зависит от химического состава материалов

и их концентрации. Это видно по результатам оценки до 75 лет после окончательного останова реактора, когда бóльшая часть наведенной радиоактивности создаётся за счёт радиоактивных элементов примесей, несмотря на то, что массовая доля этих примесей очень малая. Анализ результатов показал, что с радиологической точки зрения самыми

важными радионуклидами, наведенными во время нейтронной активации в топливных каналах реактора, являются: ${}^3\text{H}$, ${}^{14}\text{C}$, ${}^{41}\text{Ca}$, ${}^{55}\text{Fe}$, ${}^{60}\text{Co}$, ${}^{59}\text{Ni}$, ${}^{63}\text{Ni}$, ${}^{93}\text{Zr}$, ${}^{93\text{m}}\text{Nb}$, ${}^{94}\text{Nb}$.

Ключевые слова: Игналинская АЭС, топливные каналы реактора РБМК-1500, нейтронная активация, численное моделирование